12Mn 钢精炼渣 CaO/Al₂O₃ 值优化

王 旭 魏 军 仇圣桃 李召岭 李 维

(1. 钢铁研究总院连铸技术国家工程研究中心 北京 100081; 2.天津钢铁集团有限公司 天津 300301)

摘 要: 通过对 12Mn 钢精炼渣渣系进行调整,优化 CaO/Al_2O_3 值使得渣系脱硫率提高 熔化温度降低,钢中氧含量降低。结果显示 CaO/Al_2O_3 值由调整前的平均值 3.29 降到了 1.64 使得熔点降低进而提高脱硫率;最终通过脱硫率和钢中氧含量验证了 CaO/Al_2O_3 值在 $1.4\sim1.7$ 时效果最佳。该研究对 12Mn 钢精炼渣系调整具有重要指导意义。

关键词: 12Mn 钢; CaO-Al₂O₃ 精炼渣系; CaO/Al₂O₃ 值; 熔化温度; 脱硫率; 氧含量

中图分类号: TF769 文献标志码: A 文章编号: 1004-7638(2020) 03-0122-06

DOI: 10.7513/j.issn.1004-7638.2020.03.021 开放科学(资源服务) 标识码(OSID):



听语音 聊科研与作者互动

Optimization of CaO/Al₂O₃ Ratio in Refining Slag for 12Mn Steel

Wang Xu¹ ,Wei Jun¹ ,Qiu Shengtao¹ ,Li Zhaoling² ,Li Wei²

(1.National Engineering Research Center of Continuous Casting Technology Central Iron and Steel Research Institute Beijing 100081 China; 2.Tianjin Iron and Steel Group Co. Ltd., Tianjin 300301 China)

Abstract: By adjusting the slag system of 12Mn steel refining and optimizing the CaO/Al₂O₃ ratio the desulfurization rate of the slag system is increased the melting temperature is reduced and the oxygen content in the steel is diminished. The results showed that the CaO/Al₂O₃ ratio decreased from the average value of 3.29 to 1.64 which caused the melting point decrease and the desulfurization rate increase. Finally the effect of CaO/Al₂O₃ value in the range of 1.4~1.7 was verified by the desulfurization rate and oxygen content in steel. This study is of great significance to the adjustment of refining slag system of 12Mn steel.

Key words: 12Mn steel "CaO-Al $_2$ O $_3$ slag system "CaO/Al $_2$ O $_3$ ratio "melting temperature "desulphurization rate ρ xygen content

0 引言

在精炼过程中向钢包加入合适的合成渣料,并在电极加热情况下使得合成渣变成液态渣,以此达到优化精炼钢液和保温的目的,渣系作用有:保护炉衬,降低包衬对钢液影响;捕捉钢液中夹杂物,获得纯净钢液;防止钢液与空气接触,减少氧化;采用合理渣系可进一步降低钢中的氧和硫。

二次精炼过程中的精炼渣具有非常重要的冶金

功能 因此科技人员开展了很多关于冶金炉渣性能的研究,如脱硫方面,包括: $CaO^{[1-4]}$ 、 $CaF_2^{[5]}$ 、 $MgO^{[6]}$ 、 $CaO/SiO_2^{[7-9]}$ 对脱硫的影响,提高渣中 BaO和 SrO 比例可以提高脱硫效率;有文献指出在高碱度(3.0~4.5)条件下,钢中氧含量和镁铝尖晶石夹杂物数量均降低[8]。王立峰等[9]发现精炼渣低碱度 0.71~1.00 下,钢中夹杂物分散较为均匀。然而关于管线钢精炼渣中的 CaO/Al_2O_3 优化细节方面并没有得到完善、笔者对影响渣系黏度和熔点的原理进

收稿日期: 2019-09-20

行了较全面的分析 ,在此基础上对天钢 12Mn 钢进行了不同 CaO/Al_2O_3 精炼渣的工业试验 ,并以钢中含氧量和脱硫率对理论分析结果进行了验证。

1 试验

天钢 12Mn 钢的生产工艺为: 铁水预处理→转炉冶炼→LF 精炼→VD 真空处理→圆坯连铸。在 LF 精炼渣中进行了不同 CaO/Al_2O_3 的试验。由于其不同比值影响渣系熔点,而熔点高低又对钢液脱硫有影响,此外也影响钢液与空气接触程度 因此以

脱硫率和 LF 出站氧含量作为验证。

表 1 为 12Mn 钢的主要化学成分 ,表 2 为优化 前后的渣系成分(平均值) ,为便于观察 将 10 炉渣系调整前后成分列于表 3 ,其他成分保持不变 ,只对 CaO 和 Al_2O_3 进行调整。

表 1 12Mn 钢化学成分

Table 1 Main chemical compositions of 12Mn steel %

钢种	С	Mn	P	S	Si	TAl
12Mn	0.1	1.24	0.013	0.002	0.28	0.03

表 2 12Mn 钢渣系优化前后成分

Table 2 Chemical components of slag before and after optimization in 12Mn steel

%

	FeO	SiO_2	$\mathrm{Al}_2\mathrm{O}_3$	CaO	MgO	MnO	P_2O_5	S
优化前	0.46	11.07	19.14	61.4	7.32	0.12	0.012	0.45
优化后	0.47	12.5	22.51	52.18	9.9	0.19	0.017	0.39

注: 10 炉精炼渣成分的平均值。

表 3 12Mn 钢精炼渣试验前后 CaO/Al₂O₃ 变化情况 Table 3 Change of CaO/Al₂O₃ before and after slagtest of 12Mn steel

44.74	CaO/.	Al_2O_3	炉次	CaO/Al ₂ O ₃		
炉次	试验前	试验后		试验前	试验后	
1	3.39	1.73	6	2.89	1.49	
2	3.30	1.67	7	3.45	1.67	
3	3.53	1.76	8	3.32	1.75	
4	3.02	1.41	9	3.29	1.48	
5	3.59	1.60	10	3.21	1.81	

注: 试验前后取 10 炉渣做对比。

2 结果与讨论

2.1 脱硫率

2.1.1 碱度对脱硫率的影响

根据精炼渣成分变化,作碱度与脱硫率之间的 关系如图1所示。

脱硫反应方程式为:

$$[S]+(CaO) = [O]+(CaS)$$
 (1)

由式(1) 可以看出 随着 CaO 含量增加(即碱度增加) 脱硫率也是增加的 ,但其碱度限制在 $2 \sim 3$ 时 图 1(a) 说明了这一情况^[2]。图 1(b) 表明碱度在 3.0 以后继续增加时 ,脱硫率随碱度升高保持不变甚至缓慢下降。之所以出现这种情况 ,是因为精炼渣中高熔点 $2CaO \cdot SiO_2($ 熔点 $2 \cdot 130 \cdot C$) 析出 ,渣系进入 $2CaO \cdot SiO_2$ - $3CaO \cdot SiO_2$ 固液两相区^[2] ,渣流动性降低 动力学条件对脱硫不利 不利于渣钢间脱硫反应的发生。

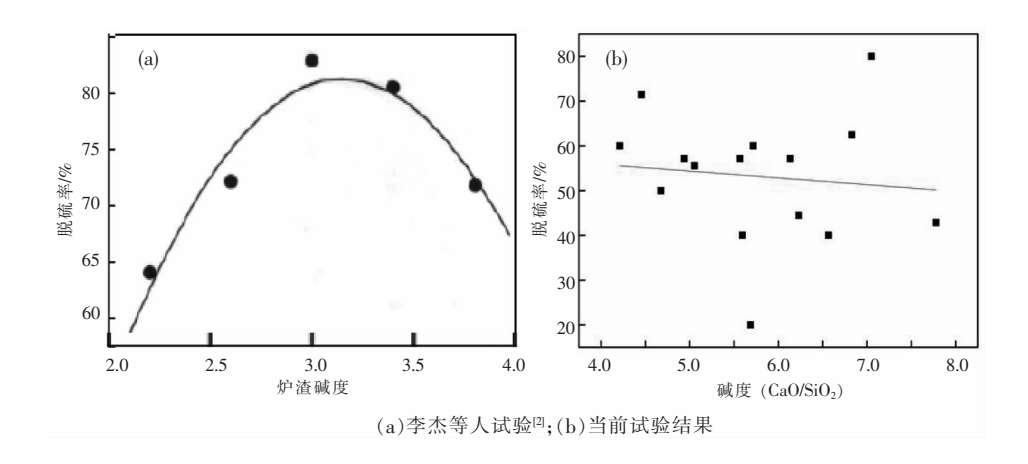


图 1 碱度和脱硫率的关系

Fig.1 Relationship between basicity and desulfurization rate

2.1.2 Al₂O₃ 对脱硫率的影响

改变渣系中 Al_2O_3 含量 ,其对脱硫的影响如图 2 所示 图中数据包含试验前后结果。从图 2 可以

看出 脱硫率随着 Al_2O_3 含量的增加而增加。这也说明优化后脱硫率是增加的。李杰等人[2] 试验结果(图 3b) 也表明了这一变化规律。

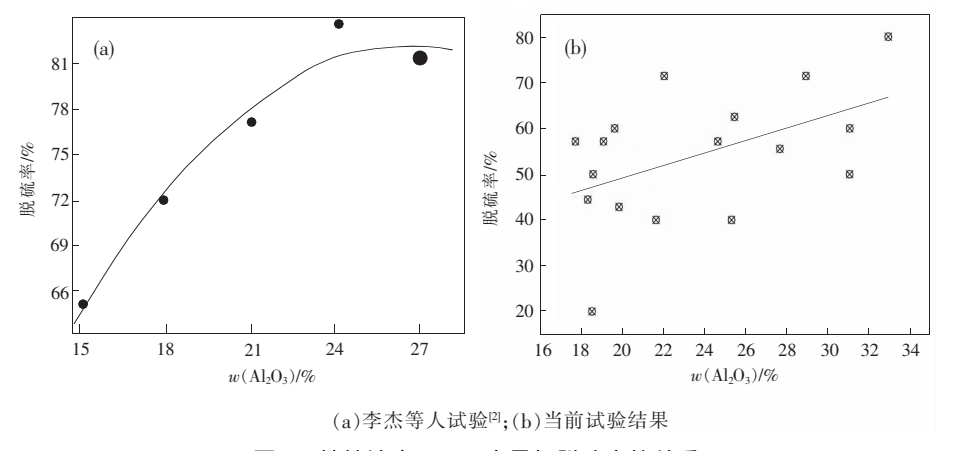


图 2 精炼渣中 Al_2O_3 含量与脱硫率的关系

Fig.2 Relationship between Al₂O₃ content and desulfurization rate in refining slag

 ${
m Al}_2{
m O}_3$ 本身不具备脱硫能力 ,主要起助溶剂作用。 ${
m Al}_2{
m O}_3$ 能降低 ${
m CaO}$ 熔点 ,提高精炼渣流动性 ,促进脱硫反应的进行。

2.1.3 CaO/Al₂O₃ 与脱硫率关系

降低 CaO/Al₂O₃ 值到 1.41~1.74 区域 脱硫率情况见图 3。从图 3 可以看出 CaO/Al₂O₃ 降低的同时 ,脱硫率整体也较高 说明 CaO/Al₂O₃ 的降低使得熔化温度降低 ,提高 12Mn 钢精炼渣的流动性 ,进而增加了脱硫率。需要说明的是 ,由于来料铁水含硫较低 (平均 0.020%) ,且转炉还有 30%的脱硫率 ,铁水进站前硫含量已达目标值 ,所以整体脱硫率不高。

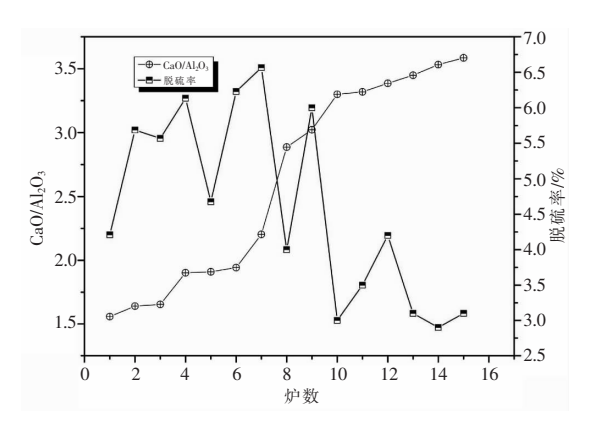


图 3 脱硫率与渣中 CaO/Al₂O₃ 值的关系 Fig.3 Relationship between desulfurization rate and CaO/Al₂O₃ in slag

2.2 渣系熔化温度

由图 4 可以看出,随着碱度(CaO/SiO2) 的增

加 精炼渣的熔点与熔速都是先下降然后再缓慢上升 且熔点在碱度为 4 以后基本保持不变 而试验设定的渣系碱度为 4.1~5.5 ,因此可以判断优化前后碱度对熔化温度影响不大。

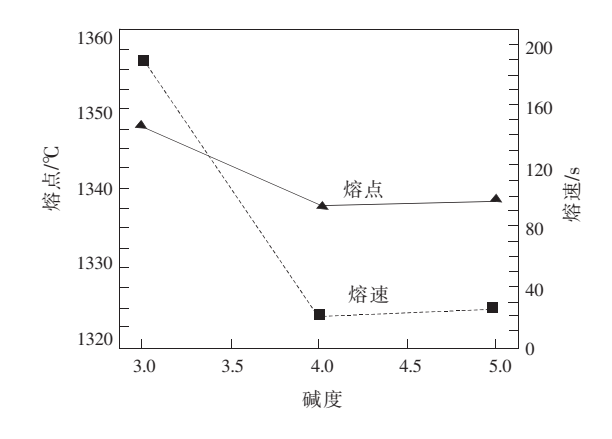


图 4 碱度(CaO/SiO₂) 对精炼渣熔点和熔化速率的影响^[10] Fig.4 Effect of alkalinity on melting point and melting rate of refining slag^[10]

根据 CaO- SiO_2 - Al_2O_3 三元相图 ,随着 Al_2O_3 含量在一定范围内逐渐提高 ,渣的熔化温度逐渐降低。当 CaO、 SiO_2 、 Al_2O_3 含量分别为 $50\% \sim 60\%$ 、 $10\% \sim 20\%$ 、 $30\% \sim 40\%$ 时 ,熔化温度只有 1510 % 左右 ,这是由于随着渣中 Al_2O_3 含量的提高 , Al_2O_3 和 CaO结合生成熔点低的铝酸钙类低熔点化合物 ,如图 5 阴影部分区域。因此渣中 Al_2O_3 含量提高会促进化渣和造渣。

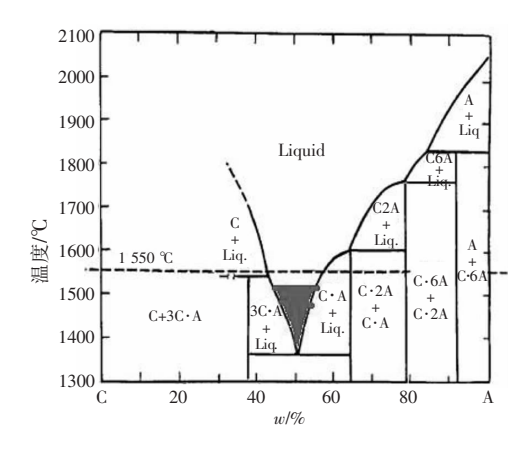


图 5 $CaO\text{-Al}_2O_3$ 体系 $^{[11]}$ Fig.5 The system of $CaO\text{-Al}_2O_3$ $^{[11]}$

2.3 CaO/Al₂O₃ 与[O]关系

天钢将精炼渣成分进行调整 ,降低 CaO/Al_2O_3 值到 $1.41\sim1.74$ 区域 ,钢中 [O] 含量变化趋势如图 6 所示。从图 6 可以看出 , [O] 和 CaO/Al_2O_3 有相同的变化趋势 ,即 CaO/Al_2O_3 越低 , [O] 也越低 , CaO/Al_2O_3 值在 $1.41\sim1.74$ 区域渣系熔点低 ,使得覆盖效果好 ,减少了精炼过程中钢水与空气的接触 , [O] 变得较低且相对稳定。

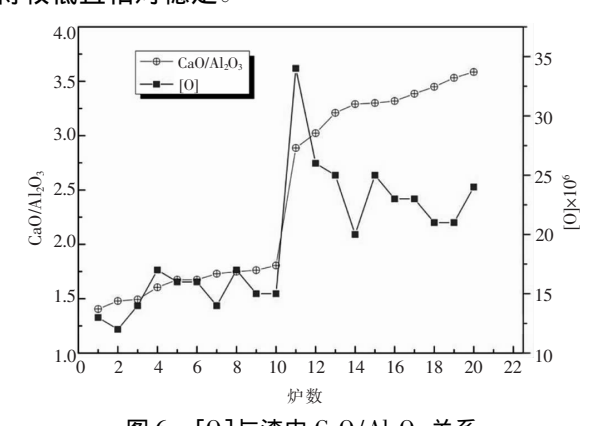


图 6 [0]与渣中 CaO/Al₂O₃ 关系 Fig.6 Relationship between [0] and CaO/Al₂O₃ in slag

3 CaO/Al₂O₃ 值优化机理

上述结果说明,优化 CaO/Al₂O₃ 值可以实现脱硫率提高和钢中氧含量的降低。为了更全面且深入的理解渣系优化原理,以下从两方面解释。

3.1 热力学及动力学综合考虑

3.1.1 热力学条件

从热力学角度来看 ,精炼渣熔点要在 1500 ℃ 以下 μ (Al_2O_3) 要低 ,碱度要高。从图 7 三元相图可以看出 A 区符合要求 $^{[12]}$ 。

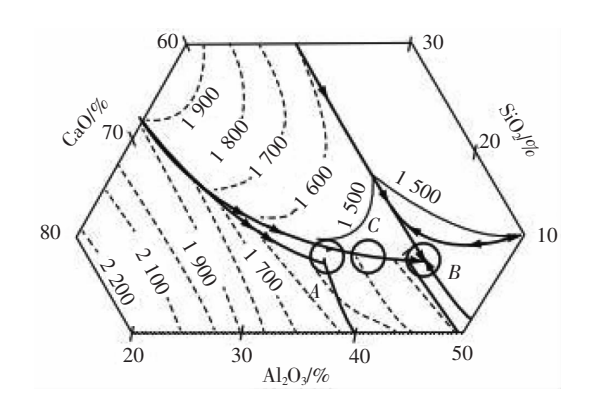


图 7 CaO-Al₂O₃-SiO₂ 三元相图 Fig.7 Three-phase diagram of CaO-Al₂O₃-SiO₂

A 区成分范围为: CaO 为 $57\% \sim 61\%$ 、 Al_2O_3 为 $31\% \sim 35\%$ 、 SiO_2 为 $10\% \sim 26\%$, CaO/ Al_2O_3 = $1.6 \sim 2.0$ 。 A 区成分 $a(Al_2O_3)$ 较低 , (CaO) 含量趋近于饱和 ,有 利于吸收氧化物夹杂; 缺点是精炼渣熔点较高 ,在 LF 精炼过程中精炼渣流动性较差 吸收夹杂物的动力学条件不足。

3.1.2 动力学条件

动力学条件最合适的区域是图 7 中的 B 区 ,其熔点小于 $1400 \,^{\circ}\mathrm{C}$ 。B 区成分为: CaO $48\% \sim 52\%$ 、Al $_2\mathrm{O}_341\% \sim 45\%$ 、SiO $_25\% \sim 9\%$,CaO/Al $_2\mathrm{O}_3=1.1 \sim 1.26$ 。B 区优点是熔点低 精炼渣流动性好,易吸收钢中夹杂物即动力学条件合适,不利之处就是a(Al $_2\mathrm{O}_3$)偏高 (CaO)含量低,对热力学条件不利。

3.1.3 CaO-Al₂O₃ 基净化剂组成的优化

精炼渣的 $a(Al_2O_3)$ 越低、碱度越高,同时热力学条件越好;精炼渣熔点越低、动力学条件就越好。在其三元相图中, SiO_2 含量恒定条件下, CaO/Al_2O_3 值决定了其熔点。因此关键就是寻找最佳的 CaO/Al_2O_3 值 在这个条件下,应达到以下两个目的:① 渣系 $a(Al_2O_3)$ 在 $0.02 \sim 0.04^{[2]}$,具有较好的热力学条件;②熔点小于 1450 ℃ 使得精炼渣有较好流动性 提高其动力学条件。由图 7 可知上述 2 个目标的 $CaO-Al_2O_3$ 区域是 C ,该成分范围:CaO 55% ~ 59%、 Al_2O_3 34% ~ 39%、 SiO_2 5% ~ 9%, CaO/Al_2O_3 的值在 $1.41 \sim 1.74$ 。

3.2 硅熔融体网状结构理论

 SiO_2 是渣系的一个主要组分,构架了硅熔融体的主体结构,随着 SiO_2 含量的增加,渣系能够明显提高黏度及熔点。

碱土氧化物 CaO 为硅熔融体网状结构的修正

者 其含量的增大会降导致渣系黏度及熔点的下降, 其原理如下:

 \equiv Si \longrightarrow O \longrightarrow Si \equiv +MO \rightleftharpoons \equiv Si \longrightarrow O \longrightarrow M \longrightarrow O \longrightarrow Si \equiv Si \longrightarrow O \longrightarrow Si \equiv +MO \rightleftharpoons \equiv 2(Si \longrightarrow O $^-$) +M²⁺

 Al_2O_3 作为两性氧化物 ,在 SiO_2 - Al_2O_3 -CaO 体系中 ,Taylor 和 $Brown^{[13-14]}$ 通过光谱分析的方法得出如下结论: Al^{3+} 离子容易易形成四配位结构 ,对网状结构起支架作用 ,缺失部分的电荷通常由含有较低场强的碱土金属离子补偿 具体见图 8。

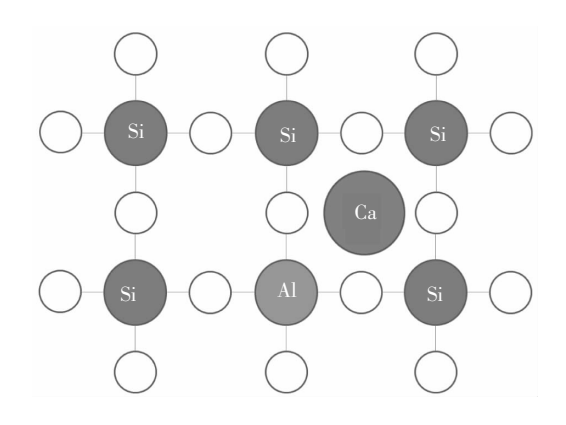


图 8 钙对铝的电荷补偿示意 Fig.8 The schematic of calcium charge compensation for aluminum

 Al_2O_3 添加进入到碱土金属氧化物的硅熔融体时 ,如果 $n(Al_2O_3) < n(M_2O) + n(MO)$,此时 Al_2O_3 对网状结构起促进作用 ,但由于铝为两性氧化物 ,容易发生非桥氧键的消失 ,电荷缺失由碱性阳离子补偿; 如果 $n(Al_2O_3) > n(M_2O) + n(MO)$, Al_2O_3 缺乏用于平衡的阳离子电荷 ,多余铝离子将会形成高配位 ,对网状结构起修正作用 ,这样就会降低结构的稳定性。

4 结论

针对天钢 12Mn 钢 LF 精炼工艺,对精炼渣 CaO/Al_2O_3 比值进行了优化,以脱硫率和精炼钢液中氧含量进行验证,得到如下结果:

- 1) CaO/Al₂O₃ 保持在 1.41~1.74 相对合理。
- 2) CaO/Al_2O_3 通过生成钙铝酸盐使得渣系流动性降低 提高渣系熔化温度导致脱硫率降低和钢液中氧含量升高。
- 3) CaO/Al_2O_3 并非越高越好 ,并从热力学及动力学作了解释 ,因为其值越高 ,会形成铝酸钙复合化合物 ,降低黏度 ,进而降低流动性。
- 4) 铝酸钙复合化合物降低黏度的机理是 Al 和 Ca 对原硅熔融体网状结构的改变而导致。

参考文献

- [1] Gao Xiangming Sun Lijun Li Guijun *et al*. The influence of refining slag components to distribution ratio of sulfur in clean steel [J]. Metal Materials and Metallurgy Engineering 2008 36(1):25-29.

 (高祥明 孙力军 李桂军 等. 洁净钢精炼渣组分对硫分配比的影响 [J]. 金属材料与冶金工程 2008 36(1):25-29.)
- [2] Li Jie "Rong Guangping "Wang Xiaolan *et al.* Experimental study of ladle furnace desulfurization with CaO-Al₂O₃-SiO₂ based refining slag [J] Steelmaking 2013 29(1):48-51.

 (李杰 荣光平 王晓兰 等.CaO-Al₂O₃-SiO₂ 基精炼渣 LF 脱硫的试验研究 [J].炼钢 2013 29(1):48-51.)
- [3] Yu Huixiang ,Wang Xinhua Zhang Jing *et al.*Cleanliness of alloying structural steel [J].Journal of Iron & Steel Research 2011 , 18(12):6-11 21.
- [4] Yu Huixiang ,Wang Xinhua ,Wang Mao *et al.* Desulfurization ability of refining slag with medium basicity [J]. International Journal of Minerals ,Metallurgy and Materials 2014 21(12):1160–1166.
- [5] Zhao Heming ,Wang Xinhua ,Xie Bing. Effect of component sondesulfurization of an Al₂O₃-CaO base pre-molten slag containing SrO [J]. Journal of University of Science and Technology Beijing 2005 ,12(3): 225-230.
- [6] Hao Ning Wang Xinhua Liu Jingang et al. Effect of MgO content on desulphurization of CaO-Al₂O₃-SiO₂-MgO slag [J] Steelmaking 2009 25(4):16-19.

 (郝宁 汪新华 刘金刚 等. MgO 含量对 CaO-Al₂O₃-SiO₂-MgO 精炼渣脱硫能力的影响[J].炼钢 2009 25(4):16-19.)
- [7] Li Daoming ,Wang Jingdong. Application research on Al₂O₃-Al property-optimized material in 180 t conventer-LF furnace [J]. Henan Metallugy ,2012(5):14-17.
 - (李道明,王竞东.Al₂0₃-Al 基钢包改质剂在 180 t 转炉--LF 炉的应用研究[J].河南冶金 2012(5):14-17.)
- [8] Yu Ping Chen Weiqing Feng Jun *et al*. Investigation of inclusions in bearing steel under refining with high basicity slag [J]. Iron and Steel 2004(39): 20–23.

(5):39-43.

- (于平 陈伟庆 冯军 等.高碱度渣精炼的轴承钢中夹杂物研究[J].钢铁 2004(39):20-23.)
- [9] Wang Lifeng Zhang Jiongming Wang Xinhua *et al*. Experimental research of composition control of CaO-SiO₂-Al₂O₃-MgO Inclusion by using low basic top slag for tire cord steel [J]. Journal of University of Science and Technology Beijing 2004 26(1): 26-29. (王立峰 涨炯明 王新华 等. 低碱度顶渣控制帘线钢中 CaO-SiO₂-Al₂O₃-MgO 类夹杂物成分的实验研究 [J]. 北京科技大学学报 2004 26(1): 26-29.)
- [10] Dong Fang Deng Haohua Qie Junmao. Effect of ingredient and particle size on semispherical melting-point and melting rate of high basicity refining slag [J]. Special Steel 2014 35(2): 9-12.
 - (董方,邓浩华, 郄俊懋,组分和粒度对高碱度精炼渣半球熔点和熔化速率的影响[J].特殊钢,2014,35(2):9-12.)
- [11] Zhao Heming ,Wang Xinhua ,Xie Bing.Study on melting temperature and viscosity of Al₂O₃-CaO based pre-molten refining slag [J].Iron Steel Vanadium Titanium 2004 25(2):13-18.
 - (赵和明,王新华,谢兵.铝钙型预熔精炼渣熔化温度和粘度的研究[J].钢铁钒钛 2004,25(2):13-18.)
- [12] Yan Genfa Huang Zhiyong Liu Hongbo *et al*.Optimization on the composition of CaO-Al₂O₃ based molten steel cleaning agent [J].J.of Anhui University of Technology 2010 32(3):229-232.
 - (颜根发, 黄志勇, 刘洪波, 等.CaO-Al, O, 基钢液净化剂组成的优化 [J]. 安徽工业大学学报, 2010, 32(3): 229-232.)
- [13] Toplis M J Dingwell D B.Shear viscosities of CaO-Al₂O₃-SiO₂ and MgO-Al₂O₃-SiO₂ liquids: Implications for the structural role of aluminium and the degree of polymerisation of synthetic and natural aluminosilicate melts [J]. Geochimica et Cosmochimica Acta 2004 68(24):5169-5188.
- [14] Zhang Zhiwen ,Wang Zengying ,Liang Qinfeng et al. Analysis and prediction of the viscosity of the SiO₂-Al₂O₃-CaO ternary system in completely molten state [J]. Proceeding of the CSEE 2008 28(5): 39-43.

 (张志文 ,王增莹 梁钦锋 ,等.完全熔融状态下 SiO₂-Al₂O₃-CaO 体系的黏度分析与预测 [J]. 中国电机工程学报 2008 28

编辑 杨冬梅

河钢科创成果入选"中国生态环境十大科技进展"

(2020年6月9日消息)近日,中国科协生态环境产学联合体向社会发布2019年度"中国生态环境十大科技进展",由河钢集团牵头研发的"钢铁行业多工序多污染物超低排放控制技术"荣列其中,被认定为"取得我国钢铁行业超低排放核心技术的重大突破",是冶金领域唯一上榜的科创成果。

河钢集团联合中科院过程工程研究所、中冶焦耐、中钢天澄等单位组建技术团队 历经 10 余年攻关研发钢铁行业超低排放技术。技术团队首先以污染物源头和过程减排为导向 研发高炉炉料结构优化技术 并在河钢唐钢建立了首台套示范工程 在国内率先实现 80%以上球团配比的绿色冶炼。基于烧结(球团)、焦炉、转炉烟气各自特点 研发了高效、低耗的污染物控制技术 分别在河钢邯钢、宝武、鞍钢建立了首台套示范工程 实现了多工序、多污染物的超低排放。

截至目前,该项目成果已在国内外完成近百台套工程应用,年处理废气规模达 2 475 亿 m³ 经济和环境效益显著。

此次评选由中国科协生态环境产学联合体牵头遴选出 16 项候选成果 后由 15 位两院院士担任评审专家讨论并投票产生 是我国生态环境领域首次开展此类遴选活动。

(摘自 http://hebei.hebnews.cn/2020-06/09/content_7903072.htm)